

高等学校試用教科书

金屬切削机床液压傳动

哈尔滨工业大学机床教研室編著

内部教材



中国工业出版社

高等学校試用教科书



金屬切削机床液壓傳動

哈尔滨工业大学机床教研室编著

中国工业出版社

本书系高等工业学校教材，根据全国指导性教学大纲（1959年订）的精神编写的。

全书共分十章。除第一章绪论外，第2~6章中叙述各种液压部件的工作原理、结构和应用，设计计算方法及实例。第7、8两章叙述液压系统的设计步骤、基本回路的选择与组合、评价液压系统的指标和计算。第9章介绍了液压随动系统的基本概念、应用实例和计算方法。第10章对液压系统的调整试验、常见故障及其消除方法以及液压部件和系统的试验研究方法等问题作了一般性的阐述。最后，并附有附录，其中收集了标准液压元件和部件的规格、性能和尺寸等技术资料，以便于设计时参考。

本书系机器制造工艺及其设备专业教学用书。同时，也可供有关工厂和研究机关中从事于机床液压传动方面的工作人员作为参考书。

金属切削机床液压传动

哈尔滨工业大学机床教研室编著

*

中国工业出版社出版（北京佟麟阁路丙10号）

（北京市书刊出版事业许可证出字第110号）

机工印刷厂印刷

新华书店科技发行所发行·各地新华书店经营

*

开本 787×1092 1/16 · 印张 13³/8 插页 1 · 字数 304,000

1961年7月北京第一版 · 1961年7月北京第一次印刷

印数 0001—7533 · 定价(10-6)1.65元

统一书号：15165 · 405(-机-70)

前　　言

“金屬切削机床液壓傳動”是我国高等工业学校中开设得比較久的一門課程，我們曾先后于1957年和1959年編寫过二次自用讲义。1957年所編讲义的內容取材和章节安排基本上是根据苏联专家在我校的讲課筆記。由于液壓傳動在机床上的应用日益广泛，我国的生产实际对机床液壓傳動裝置的設計和制造提出了不少新問題，同时，通过我們自己的教学和科研實踐，也进一步体会到原有讲义不能滿足要求。在1959年第二次編寫自用讲义时，首先，加强了液壓部件和液壓系統的設計和計算方面的內容，归纳总结一些液壓系統設計的指導原則，并以实例予以說明；其次，在油泵和各类閥等章节中开始学习和运用辯証法来分析事物的共性和特性，提出事物的本质；在取材上也尽可能反映我国的生产实际。但由于我們在机床液壓傳動方面的實踐很不够，收集和总结我国生产中的現場資料也还不广泛，特別是我們的思想水平和学术水平有限，所以1959年編写出的自用讲义远未达到理想的要求，看来只能說是在內容上对原讲义作了些补充。

这本讲义經過二次試用，一般反应內容尚丰富，亦較系統全面；設計性內容（主要是元件設計）和國內外新成就也有所反映。但另一方面仍存在較多缺点。除了在貫彻党的技术政策，运用辯証法和总结国内外最新技术成就等方面还做得很不够之外，主要缺点是：液壓系統設計方面的內容仍比較貧乏；液壓隨動系統和液壓系統的調整，試驗和研究方面的內容反映不够；部分章节內容的分析不够深刻，闡述不够精炼。

在今年三月末的全国性机制专业教材选編會議第一次會議上，决定推荐这本讲义公开出版后，我們曾作了部分的修改和补充，但由于時間异常紧迫，故只是增添了第九、十两章，改写了第七、八两章，其余章节只是作了一般性的校核和局部修改，而重点修改补充后的章节的內容也很不成熟。因此，全书在各方面的錯誤、缺点和不妥当之处在所难免，恳切地希望讀者提出批評和指正，以便再版时修改。

在第二次教材审編會議上，承蒙清华大学薛祖德同志和华中工学院潘宪錦同志仔細审閱，并提供很多宝贵意見和热情帮助，特此致以深切的謝意。

參加本书编写工作的有費开、張曙、劉庆和、章炎等同志，全稿由章炎、張曙两同志統一校閱。

哈尔滨工业大学机床教研室

一九六一年五月二日

目 次

前言	3
第一章 緒論	5
第二章 机床液压传动的水力学基础	7
§ 2.1 液体的概念及其物理特性	7
§ 2.2 机床液压传动所用油的要求及选择	10
§ 2.3 有压管流的计算	11
§ 2.4 液压系统发热与温升的计算	14
§ 2.5 关于液压冲击問題	17
第三章 油泵与液压馬达	18
§ 3.1 油泵（液压馬达）的共性及其分类	18
§ 3.2 齿輪油泵与齒輪液压馬达	19
§ 3.3 叶片油泵与叶片液压馬达	30
§ 3.4 活塞油泵与活塞液压馬达	42
第四章 动力油缸	55
§ 4.1 动力油缸的分类	55
§ 4.2 油缸的油量和工作部件的运动速度	59
§ 4.3 动力油缸的结构	60
§ 4.4 动力油缸的设计计算	61
§ 4.5 油缸的密封装置	64
第五章 液压系統中的控制调节装置	69
§ 5.1 控制调节装置的共性及其分类	69
§ 5.2 控制压力的閥类	70
§ 5.3 控制液流方向的閥类	82
§ 5.4 控制液流流量的閥类	92
§ 5.5 时间继动器	99
§ 5.6 閥的组合和液压操纵箱	99
第六章 液压系統中的辅助装置	106
§ 6.1 蓄能器	106
§ 6.2 滤油器	108
§ 6.3 油管和管接头	110
§ 6.4 油箱	112
第七章 速度的调节和稳定	113
§ 7.1 对速度调节的基本要求及其实现方法	113
§ 7.2 节流调速的基本方式	113
§ 7.3 节流调速迴路的特性	115
§ 7.4 节流调速的速度稳定	116
§ 7.5 容积调速的基本方法及其特性	119
§ 7.6 容积调速的速度稳定	124
§ 7.7 液压有级调速迴路	126
§ 7.8 速度调节迴路方案的选择与应用	126
第八章 机床液压系統設計	130
§ 8.1 确定机床液压系統方案	130
§ 8.2 拟訂液压系統简图	130
§ 8.3 进行初步計算，选择与设计液压元件，繪制液压系統图和装配图	148
§ 8.4 驗証液压傳动系統的各项性能	152
第九章 机床液压隨动系統	161
§ 9.1 液压隨动系統的概念	161
§ 9.2 机床上的典型液压隨动系統	162
§ 9.3 液压隨动系統及裝置的設計与計算	167
§ 9.4 結語	172
第十章 机床液压系統的調整和試驗	174
§ 10.1 液压傳动系統的調整試驗	174
§ 10.2 液压系統常見故障和消除方法	176
§ 10.3 基本液压元件的試驗台試驗	178
§ 10.4 液压系統的动态試驗	182
附录	190
1 IIIG01型齒輪油泵	190
2 Г 11-2型齒輪油泵	191
3 Г 12-1型 (ЛФ型) 叶片泵	193
4 Г 12-2型叶片泵	194
5 МГ16-1型叶片液压馬达	196
6 Г 13-1型 (НН型) 径向活塞泵	198
7 Г 14-1型滑閥分配式軸向活塞泵	199
8 МГ15型軸向活塞液压馬达	200
9 IIIГ11型压力閥	201
10 IIIГ12型压力閥	201
11 Г 54型压力閥	202
12 Г 52型压力閥	202
13 Г 57型減压閥	202
14 壓力繼電器	202
15 Г 73-21和Г 74-211型四通導閥	203
16 Г 71-2型旋轉導閥	203
17 Г 74-1型手动換向滑閥	203
18 Г 72-1型液動導向滑閥	204
19 Г 73-1型电动換向滑閥	204
20 Г 51-2型單向閥	205
21 Г 77型節流閥	205
22 Г 66-2型帶單向閥的压力閥	205
23 Г 74-3型帶單向閥的双通導閥	205
24 Г 55型速度穩定器	206
25 2БГ52型电磁控制的压力閥	206
26 Г 64-2型电液換向滑閥	206
27 磨床用液压操纵箱	207
28 插刨床用液压操纵箱	207
29 慢速进給用液压操纵箱	207
30 IIIГ36型滤油器	208
31 Г 41型滤油器	208
32 圆形橡胶密封圈	209
33 活塞杆用密封圈	210
34 旋轉軸用密封圈	210
35 活塞皮碗	211
36 活塞漲圈	211
37 活塞杆皮碗	211
38 双向作用的动力油缸	212
39 差动作用的动力油缸	213
40 双表作用动力油缸	214
参考文献	215

第一章 緒論

机器是由一系列不同的机构所組成，各种机构都有其本身的特殊结构和用途（特性）。在一定的具体条件下，某些特性对机器起良好的作用，而另一些特性却相反地起不良影响。所以，設計人員在設計各种机器时，应尽可能合理地选择和組合各种机构。

随着社会生产力和科学技术的不断发展，对机器的要求也日益提高。例如，增大机器的动力，提高机器的精度与自动化程度等。因此人們必須不断寻求新的机构来适应这些新的要求。最近卅年来，不断地出現和推广了如电气、气压、液压等一系列的新机构；其中，液压傳动裝置在机床上应用的历史还不到四十年。

液压傳动裝置是以液体作为工作介质传递动力和动作訊号的裝置，按其工作原理可分为容积式和动力式两大类。

容积式液压傳动裝置是在封閉容器的工作条件下，借助于运动着的液体的容积变化来传递动力。机构的运动速度决定于液体容积的变化快慢，机构的工作能力决定于液体的单位压力及作用面积。容积式傳动是机床液压傳动裝置的主要形式。

动力式液压傳动裝置是以液体的运动能量实现动力传递的裝置，如离心式水泵，水輪机等。它的动力及速度决定于液体射流的能量。

一台机床（机器）的液压傳动系統主要由三大部分組成：

- 1) 第一能量轉換裝置——油泵、通过它使电动机（或其他动力机）所輸出的机构能轉換成液体的压力能；
- 2) 第二能量轉換裝置——液动机，通过它使液体的压力能轉換成执行机构的机械能；
- 3) 控制調節裝置——压力閥、节流閥、配油閥等各种不同閥类，通过它們控制和調节液流的压力速度和方向，以滿足机器工作性能的要求并实现各种不同的工作循环。

除上面所述的三大基本部分外，液压傳动系統中还必須具有一系列的輔助裝置，如油箱、油管、管接头、滤油器等。

液压傳动与其他的傳动方式（电气的、机械的）比較，具有以下的主要特点：

1) 在同样功率的条件下，液压傳动裝置的重量輕，体积紧凑，慣性小。这是因为液压傳动裝置充分发挥了材料的强度性能，如液动机与电动机比較，电动机的磁极作用在电枢上的磁力为 $4\sim6$ 公斤/厘米²，而液动机的柱塞所能承受的压力却高达 $200\sim300$ 公斤/厘米²。

图 1-1 所示为相同功率的发电机与油泵和电动机与液压馬达重量的比較。

- 2) 能在很大調整范围内，实现无級調速。特別是采用节流式調速时，結構极为简单，成本低廉。
- 3) 运动平稳，便于实现頻繁及平稳地換向。易于吸收冲击力和自动防止过載。
- 4) 液压元件易于实现通用化和标准化。

液压傳动存在以下的缺点：

- 1) 由于泄漏的难以避免，不仅影响工作效率和运动平稳性，而且不适用于要求較高的定比傳动。

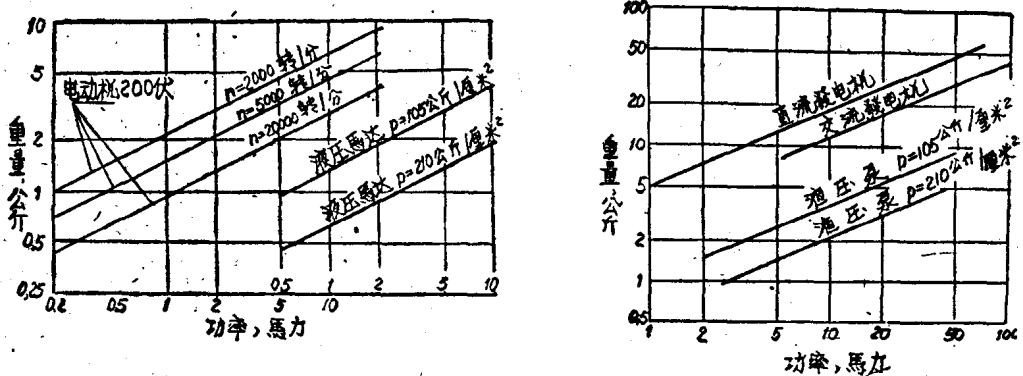


图1-1 油泵与发电机和液压馬达与电动机重量的比較。

2) 油液的溫度及粘度的变化，影响傳动机构的工作性能。此外，在低溫及高溫条件下采用液压傳动有較大的困难。

3) 液体中滲有空气时，容易引起振动，影响工作质量。

4) 制造及調整液压部件及系統需要較高的生产技术水平，当使用中产生故障时，由于外面看不到，要寻找其原因并消除之往往比較困难，故当缺乏使用及維护經驗时，易造成停工現象。

从上面的比較，总的來說液压傳动的优点是主要的，某些缺点和制造、使用中存在的一些問題也是可以逐步克服的。可以认为，液压傳动在机床中的应用和推广很有前途。但是，也必須重視其缺点，以便不断改进和完善。同时，还应吸取他种傳动方式的优点，采用电液、气液联合傳动，也是很重要的。

我国自1949年建国以来的十多年中，党和政府在发展机床工业中对液压傳动給予了很大重視。到目前为止，我国的机床制造业已經掌握并生产了各种类型机床上的绝大部分液压傳动装置。特別是1958年大跃进以来，在創立我国的机床体系中，在轰轰烈烈的技术革命和技术革新运动推动下，机床液压傳动装置的設計和制造已开始走上了独立自行設計的新阶段，如有的机床厂創造性地設計制造了简单而适用的一系列 III型及 Gy型液压部件。

除在机床上广泛地采用液压傳动之外，目前在其他技术領域中应用液压傳动也十分广泛，如应用于交通运输机器，起重、钻探及建筑机器，各种原动机与工作机器（如水压机）等。

液压傳动已經逐漸地形成为一門独立的学科，鉴于它具有独特的优点和广泛的发展前途，因此对它应給予足够的重視。

第二章 机床液压传动的水力学基础

§ 2.1 液体的概念及其物理特性

液体属于流体的一种，它具有下列特性：质点间内聚力极小，易流动，形状没有一定，主要决定于容器的形状，对张力及形状的改变不显示阻力，而且液体几乎为不可压缩的。

一、液体的粘度

液体运动的抵抗变形，和产生摩擦力的一种性质，称为粘滞性，它是分子间有内聚力存在所引起的，一般习惯用粘度来表示粘滞性大小的程度。

粘度是液体最基本的最重要的物理特性之一，它直接影响机床液压系统的使用工作性能，在设计计算液压系统时也占有重要地位。

粘度一般有三种不同单位表示。

1. 油的绝对粘度 油的粘度也就是油的内摩擦力，用牛顿液体内摩擦定律表示如下：

$$\mu = \tau \frac{dy}{dv} \quad (\text{达因}\cdot\text{秒}/\text{厘米}^2)$$

式中 μ —— 油的绝对粘度；

τ —— 使相邻油膜产生速度梯度 $\frac{dy}{dv}$ 变化所需的剪应力；

dy —— 相邻油膜层的间隔距离；

dv —— 相邻油膜之间的相对滑动速度。

绝对粘度的工程单位因次为：公斤·秒/米²，它是表示面积为1平方米，距离为1米的相邻两层流体，以1米/秒的速度相对运动时的相互间的作用力。物理学单位因次为：达因·秒/厘米²（或称泊）。

它们之间的关系如下：

$$1 \frac{\text{公斤}\cdot\text{秒}}{\text{米}^2} = 98.1 \text{ 泊} \left(\frac{\text{达因}\cdot\text{秒}}{\text{厘米}^2} \right) = 9810 \text{ 厘泊};$$

$$1 \text{ 厘泊} = 0.01 \text{ 泊} = 0.000102 \frac{\text{公斤}\cdot\text{秒}}{\text{米}^2}.$$

绝对粘度在工程计算中不常应用。

2. 油的运动粘度 运动粘度 ν 是密度除绝对粘度所得的商值。即：

$$\nu = \frac{\mu}{\rho}$$

式中 μ —— 油的绝对粘度；

ρ —— 油的密度。

运动粘度和重力加速度无关。

运动粘度的工程单位因次为：米²/秒；物理学单位因次为：厘米³/秒，亦称斯脱克（CT）。

运动粘度与绝对粘度一样，都很难直接测量。

3. 油的相对粘度 在工厂和实验室中通常利用恩氏粘度计来测定液体的粘度。它表示 200 厘米³ 的油（或其他液体）与 200 厘米³ 的水，在同一工作条件下流过某一小孔 所需的时间的比值，故称为相对粘度，简称恩氏粘度 ${}^{\circ}\text{E}$ ，若以公式表示为：

$${}^{\circ}\text{E} = \frac{t_1}{t_2}$$

式中 t_1 ——200 厘米³ 的油（或其他液体）流过恩氏粘度计小孔所需的时间（秒）；

t_2 ——200 厘米³ 的水流过恩氏粘度计小孔所需的时间（秒）。

工业上一般以 20°C, 50°C 及 100°C 作为测定时标准温度，相对应以符号 ${}^{\circ}\text{E}_{20}$, ${}^{\circ}\text{E}_{50}$ 及 ${}^{\circ}\text{E}_{100}$ 表示。

三种粘度之间的关系，可以用下面公式[5]表示：

$$\mu = v\rho \quad (2.1)$$

$$v = 0.0731 {}^{\circ}\text{E} - \frac{0.0631}{{}^{\circ}\text{E}} \quad (\text{厘米}^2/\text{秒}) \quad (2.2)$$

$$\mu = 0.00067 {}^{\circ}\text{E} - \frac{0.0058}{{}^{\circ}\text{E}} \quad (\text{公斤}\cdot\text{秒}/\text{米}^2) \quad (\text{取 } \rho = 0.9 \text{ 公斤}/\text{升}) \quad (2.3)$$

4. 温度与压力对粘度的影响：

1) 温度对粘度的影响：

一般的油液当温度增高时，都会产生融稀的现象，因粘性主要决定于分子间的相互作用力，显然，这时粘度会随温度的增高而降低。

油的种类不同，粘度的改变规律也不同，故很难用一个统一的方程式来准确表示粘度随温度而变化的函数关系。

对于普通粘度（不超过 6 ${}^{\circ}\text{E}_{50}$ ）的矿物油，当温度在 30°~150°C 范围内时，可近似地用以下公式[6]计算粘度的变化：

$$v_t = v_{50} \left(\frac{50}{t} \right)^n \quad (2.4)$$

式中 v_t ——温度为 t ° 时的运动粘度（厘米²/秒）；

v_{50} ——温度为 50°C 时的运动粘度（厘米²/秒）。

指数 n 的数值如下：

${}^{\circ}\text{E}_{50}$	1.2	1.5	1.8	2.0	3.0	4.0	5.0	6.0
n	1.39	1.59	1.72	1.79	1.99	2.13	2.24	2.32

2) 压力对粘度的影响：

粘度与压力也有密切的关系，压力愈大，分子间的距离愈缩小，粘度则变大，换言之，绝大部分液体的粘度随压力增加而增大，粘度与压力的关系[5]如下：

$$\mu = \mu_0 e^{bp} \quad (2.5)$$

式中 μ_0 ——在大气压下的粘度；

b ——实验系数，机床液压传动所用油的 b 值为 0.002~0.003；

p ——油的压力。

在实际应用上，矿物油粘度与压力之关系可用下式[5]求出：

$$v_p = v(1 + 0.001\Delta P) \quad (2.6)$$

式中 v_p ——所求压力下的运动粘度 (厘米²/秒);

v ——大气压力下的运动粘度 (厘米²/秒);

ΔP ——压力差 (公斤/厘米²)。

此关系式在实用上，也可以应用于各种液体。

从式(2.6)可以看出粘度随压力变化的程度并不大，故在50公斤/厘米²以下的压力所引起的粘度变化常可忽略不计。

5. 混合油液的粘度：

为了使工作液体具有需要的粘度，广泛的采用混合油，计算混合油的粘度可用以下公式[1]：

$$E = \frac{a \cdot E_1 + b \cdot E_2 - c(E_1 + E_2)}{100} \quad (2.7)$$

式中 E_1 , E_2 及 E ——用以混合的两种油及混合后的油的粘度；

a 及 b ——参加混合的两种油液各占的百分比；

c ——系数由下表查得。

表2-1 混合油液的粘度系数 c

$a\%$	10	20	30	40	50	60	70	80	90
$b\%$	90	80	70	60	50	40	30	20	10
c	6.7	13.1	17.9	22.1	25.5	27.9	28.2	25	17

二、液体的密度及压缩性

单位容积中液体的质量称为该液体的密度，以 ρ 表示：

$$\rho = \frac{m}{V} \text{ (克/厘米}^3\text{)} \quad (2.8)$$

式中 m ——质量 (克)；

V ——容积 (厘米³)。

密度除了与温度有关以外，还与压力有关，密度的变化与压力间的关系决定于其压缩性，压缩系数 β 是作为衡量压缩性的指标。在温度及其他条件相同时，被压缩液体的容积相对变化值为：

$$\frac{\Delta V}{V} = -\beta \Delta P \quad (2.9)$$

故压缩系数的单位应为大气压的倒数 (厘米²/公斤)，压缩系数的倒数称之为容积弹性系数 E ，单位与大气压相同。

$$E = \frac{1}{\beta} \quad (2.10)$$

容积弹性系数对于计算液力冲击大小，工作稳定性和液压系统的振动，以及计算远距离操纵的液压机构都有重大意义。

机床液压系统中所用的油，在其使用温度和压力范围内，其平均密度为0.86~0.95克/厘米³。

在150大气压之下，20°C时各种油液压缩系数 $\beta_{20} = (5 \sim 7.5) \cdot 10^{-5}$ 厘米²/公斤，此值很

小，因此常可略而不計，这时相当的容积彈性系数 $E = (2 \sim 1.3) \cdot 10^4$ 公斤/厘米²，液体压缩性随压力增高及溫度降低还要减小，当对整个計算的准确性要求很高时，才加以考虑。

三、油的比热

油的溫度变化和油的比热有很大关系。因此，在設計液压系統中的油箱及冷却设备时，必須考慮油的比热的影响。

矿物油的比热系数可以按下面公式[1]計算：

$$C = \frac{1}{\sqrt{0.001 \gamma}} (0.403 + 0.00081t^\circ C) \text{ 公斤}\cdot\text{度}/\text{仟卡} \quad (2.11)$$

式中 γ —— 溫度15°C时油的重度 (公斤/升)；
 t —— 油的溫度 (°C)。

§ 2.2 机床液压傳动所用油的要求及選擇

一、对机床液压傳动所用油的要求

在机床液压傳动中，由于压力、速度及溫度在很大范围内变化，为了保証工作状态的稳定，要求所应用的工作液体能适应这种变化，并保持稳定的性能，不致因外界条件的变化而引起很大的改变或破坏，因此对油提出下列要求：

- 1) 粘度要符合具体工作条件，要使工作过程中，当外界条件在允许范围内变化时，粘度变化最小，因为粘度过大摩擦损失增加，过小则泄漏严重，都将导致效率的降低。
- 2) 应具有良好不变的润滑性和化学稳定性，不能含酸或碱，以免腐蚀管道及密封装置等。
- 3) 质量应纯净，不能含有沥青等高温易分解的物质，以免堵塞油路。不能含气体和易分化以及易分泌气体的物质，水分含量不应超出0.025%以免形成气隙气囊现象等，影响运动的平稳性，其他杂质含量也应尽量少，以免引起堵塞。
- 4) 在不同工作条件下，应有足夠的油膜强度，因为它一旦破坏就会引起摩擦力急剧增加。
- 5) 凝固点要低，在气候寒冷的条件下工作，还能保持一定的流动性。燃点要高，保証安全。

二、油的选择与应用

金属切削机床中最常用的油为 [20] [30] 及 [45] 号工业矿物油，其粘度为 $E_{50} = 2.6 \sim 7$ 。

在中小压力 ($P = 20 \sim 30$ 公斤/厘米²) 下作往复运动的傳动装置中，或是在速度較高的傳动装置中 ($v = 8$ 米/分) 可采用粘度 $E_{50} = 2 \sim 3$ 的 [12] 及 [20] 号工业矿物油。

在实现旋转运动傳动装置中，因速度較高和溫度升高較快，一般采用粘度較大的 $E_{50} = 3 \sim 3.5$ 的 [30] 及 [45] 号工业矿物用油。

在选择油类时，还应当注意机器周围的溫度，如果周围溫度高，则采用粘度較大的油，

如果周围温度低，则采用粘度较小的油。

在精密的液压传动装置中，如液压随动装置等，宜采用 [12] 号工业矿物油。

在容积损失（泄漏）要求严格的机构中，宜采用电离后的油，因为油经电离后，其粘度几乎不随温度而变化。

表 2-2 所列系金属切削机床中最常用的油类的基本性能。

表2-2 机床中常用油类的基本性能

油的牌号	[12]号工业矿物油 (2号锭子油)	[20]号工业矿物油 (3号锭子油)	[30]号工业矿物油 (刀号机器油)	[45]号工业矿物油 (C号机器油)	[50]号工业矿物油 (CY号机器油)
密度	0.870~0.891	0.881~0.905	0.886~0.916	0.886~0.926	—
燃点°C	165	170	180	190	200
凝固点°C	-50	-20	-15	-10	-20
V_{50}	10~14	17~23	2~33	38~52	42~58
E_{50}	1.86~2.26	2.60~3.31	3.81~4.59	5.24~7.07	5.76~7.86
每克油的酸数	0.14	0.14	0.2	0.35	0.15
含尘量%	0.007	0.007	0.007	0.007	0.005
水分	无	无	无	无	无
机械杂质%	无	无	0.007	0.007	0.007
水溶性酸碱	无	无	无	无	无

注：工业矿物油的牌号 [12]、[20]、[30]、[45]、[50] 是代表油的平均运动粘度。

应该指出，目前在油的代用方面正在进行研究。寻找一种粘度不随温度变化且其他性能亦很好的工作液体是液压传动发展中的重要关键。此外，为了节约油的消耗也有必要研究它的代用问题。

§ 2.3 有压管流的计算

一、层流、紊流及平均流速的概念

层流和紊流是液体两种不同的流动形态，所谓层流是指液体各分子是平行于导管轴线而运动的，而紊流中，除了这种规律的轴向运动之外，液体分子或多或少还有横向运动。

在正常条件下，机床液压传动多半属于层流，只有在速度大，粘度小及外界扰动的影响下，才出现紊流，故机床有压管流一般可以以层流为出发点来进行计算的。

有压管流中，其各流层的速度分布如图 2-1 所示，在近管壁处因有附着力存在所以速度较小，最外层理论上近于零，而在管流中央流速最大，大约形成抛物线状，为了方便，常取其平均值作为计算依据，称之为平均流速。

二、压力损失的计算

当液体在导管内流动时，由于分子间的摩擦和液流与管壁之间的摩擦存在，不可避免的会产生压力降，亦即有压力损失存在，除一般的沿程损失外，还有因管径突然变化及

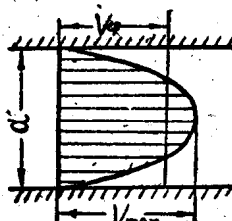


图2-1 管中的流速分布。

連接部分等原因引起的局部壓力損失。

在設計液壓系統時，液壓損失的計算有很重要意義，因為由它可以確定所需壓力、流速、輸油率、效率及機構的可靠性和經濟性等。

1. 导管中的沿程損失計算：

根據水力學，沿程壓力損失可按下式計算：

$$\Delta P = \lambda \frac{l}{d} \cdot \frac{v^2}{2g} \gamma \quad (2.12)$$

式中 ΔP ——壓力損失 (公斤/米²)；

λ ——導管內之阻力系數 (或稱壓力損失系數)；

l ——計算某段直導管之長度 (米)；

d ——計算導管的內徑 (米)；

v ——液體平均流速 (米/秒)；

g ——重力加速度 (米/秒²)；

γ ——液體重度 (公斤/米³)。

阻力系數 λ 決定於表明運動特性的，與導管大小，液體速度成正比，與液體粘度成反比的雷諾數，是一個無因次的數值，一般用實驗方法求得。對於用於機床的礦物油，可取 [6]：

$$\lambda = \frac{75}{R_e}$$

R_e 表示在圓導管中運動液體的雷諾數。

實驗證明，在雷諾數較小時 (240~1640)，規則的彎管 (指彎曲角為 90°)，當彎曲部分之長度與直徑比 $L/d \leq 6$ 時，其阻力系數與直管之阻力系數相差極微，亦可用上式計算。

對於液體在軟管中作層流運動，壓力損失系數也可以視為與直硬管相等。但注意軟管中之擾動比硬管要大，所以易形成紊流，而且當軟管之彎曲半徑減小時，其阻力系數將激增，主要是由於軟管在彎曲時彎曲處不可避免的產生壓縮使阻力增大之故。一般裝有標準管接頭的各種直線軟管根據實驗數據，阻力系數約為：

$$\lambda = \frac{75}{R_e} \sim \frac{85}{R_e}$$

以上計算公式都只能適用於機床上用的粗糙度在允許範圍內的光滑管。

2. 局部壓力損失計算：

局部損失引起的原因是多種多樣的，如管道出入口，管道截面的突然改變，流經網孔，急轉彎，流經節流孔等等都會引起局部壓力損失，因此不可能有統一的計算公式，主要是依靠實驗以不同的局部壓力損失系數來考慮各種不同情況，常以下式來表示：

$$\Delta p_i = \varphi_i \frac{v^2}{2g} \gamma \quad (2.13)$$

局部壓力損失系數 φ 值決定較複雜，計算時通常以當量導管長度 l_i 的形式來代替。

$$\varphi_i \frac{v^2}{2g} \gamma = \lambda \frac{l_i}{d} \cdot \frac{v^2}{2g} \gamma,$$

$$\varphi_i = \lambda \frac{l_i}{d}, \quad (2.14)$$

$$l_i = \frac{\varphi_i}{\lambda} d.$$

$\frac{l_i}{d}$ 比值視液流性质而定，紊流时为一常数，层流时可以用下式[6]計算：

$$\frac{l_i}{d} = 1350nR_e^{0.048} \quad (2.15)$$

式中 n —— 經驗系数，視局部阻力的形式与安装位置而定，如表 2-3 所列。

表 2-3

局 部 阻 力 形 式	n 值	局 部 阻 力 形 式	n 值
直角钻孔	0.0334	三通管接头	
控制邊直徑 $d \leq 20$ 毫米的滑閥	0.034	直向引入液流	0.017
垂直方向引入液流时的三通閥	0.0068	側向引入液流	0.054
直通球式單向閥	0.0504	急剧扩大	
直角球式單向閥	0.0141	1:4	0.023
节流閥		1:2	0.017
a) 全开	0.005	3:4	0.013
b) 闭 $1/4$	0.0313	急剧收缩	
b) 闭 $1/2$	0.151	4:1	0.0125
r) 开 $3/4$	0.586	2:1	0.0062
		4:3	0.0055

最后可以得到包括沿程損失和局部損失的导管当量长度：

$$L_{np} = l + \sum l_i \quad (2.16)$$

把 L_{np} 代入压力損失計算公式，則一次就可算出全部損失，但应注意，导管当量长度加法只允許在两相邻局部損失間距离不小于 $5d$ 时使用。

三、隙縫及小孔的流量計算

研究液体流过間隙的問題在液压傳动的設計計算中占很重要的地位。因这問題涉及到液压系統各部件工作部分連接处是否能保証很好的密封，流量損失是否在允許的範圍內。一般有相对运动的两物体間不可免地都存在間隙，必須使零件間既不产生过大的摩擦又保証必要的密封性。

在液压隨動系統的設計研究中，隙縫及小孔流量的計算还有其更重大的意义，因为隨動运动就建筑在隙縫流量的基础上，計算系統的精度及稳定性，必須以隙縫及小孔流量公式为基础。

這方面的研究还不夠成熟，因为影响的因素較多，計算結果常与实际不符，下面介紹的只是根据水力学理論得到的理論公式，可作一般泄漏計算用，目前在液压隨動系統的研究方面已提出了某些以實驗为基础的經驗公式，和經驗理論相結合的公式，用时可參考有关文献。

流經两平行平面間的隙縫流量公式[5]：

$$Q = \frac{\delta^3 \cdot W \cdot \Delta p}{12\mu l} \text{ 厘米}^3/\text{秒}; \quad (2.17)$$

流經圓环状隙縫的流量公式[5]：

$$Q = \frac{\pi \delta^3 \Delta p}{12\mu l} (r_1 + r_2) \approx \frac{\pi d \delta^3 \Delta p}{12\mu l} \text{ 厘米}^3/\text{秒}; \quad (2.18)$$

流經小孔或小直徑沟槽的流量公式[5]：

$$Q = \frac{\pi d^4 \Delta p}{128 \mu l} \text{ 厘米}^3/\text{秒}, \quad (2.19)$$

上三式中

- δ —— 隙縫的間隙寬度 (厘米);
- w —— 隙縫垂直于油流方向的寬度 (厘米);
- l —— 沿油流方向隙縫或孔的長度 (厘米);
- Δp —— 壓力降 (公斤/厘米²);
- μ —— 絶對粘度 (公斤·秒/厘米²);
- r_1 及 r_2 —— 环形隙縫的外半徑及內半徑 (厘米);
- d —— 环形隙縫或小孔的直徑 (厘米)。

流經薄壁小孔的流量公式:

$$Q = \mu' f \sqrt{\frac{2g \Delta p}{\gamma}} \text{ 厘米}^3/\text{秒} \quad (2.20)$$

式中 μ' —— 流量系数, 对矿物油可取 $\mu' = 0.6 \sim 0.73$;

f —— 小孔面积 (厘米²);

g —— 重力加速度, 981厘米/秒²;

γ —— 油的重度, 0.0009公斤/厘米³。

如将 g 及 γ 值代入上式, 可得

$$Q = 1472 \mu' f \Delta p^{0.5} \text{ 厘米}^3/\text{秒} \quad (2.21)$$

上面的計算只适用于正常的情况, 如对环形隙縫而言, 設其具有高度同心, 壓力、溫度对粘度的影响略去不計, 沿整个流动长度不变等的理想情况, 較精确的計算应按下面修正公式, 对于偏心率为 ϵ 的环形隙縫流量为:

$$Q = \frac{\pi d^3 \delta^3 \Delta p}{12 \mu l} (1 + 1.5\epsilon^2), \quad (2.22)$$

上海机床厂曾对直徑 d 为 1~2 毫米, 長度 l 为 3~25 毫米的小孔进行了流量試驗, 当溫度在 30°C 左右, 壓力差 Δp 在 0~2.5 公斤/厘米² 范圍內, 流經小孔的流量可按下列經驗公式[11]計算:

$$Q = 0.56 \frac{\Delta p^{0.7} d^{2.2}}{l^{0.2}} \text{ 升}/\text{分} \quad (2.23)$$

在上述範圍, 計算結果与試驗实測的誤差不超过 15%, 在一般計算中已足夠准确。

§ 2.4 液压系統发热与温升的計算

由于液压阻力存在而产生的压力液压系統在工作时損失, 以及整个液压系統的机械損失和容积損失組成了总的能量損失。这些能量都轉变为热能, 使油液产生温升, 这不仅会使油液的物理性能有所变化, 从而影响液压系統的正常工作性能, 甚至对于热膨胀系数不同的运动件之間的間隙可能变小而卡死, 失去工作能力, 所以热的計算在液压傳动中也是不可缺少的, 而且应加以必要的限制。一般为了保証系統的良好工作性能, 規定在机床液压系統中油的最高溫度最好不大于 50°C。

一、局部的热計算

当液体挤过两静止平板間的縫隙时，所消耗的能量即等于所花去的当量功的能量，以 E_p 表示，可按下式計算：

$$E_p = (p_1 - p_2)Q = \Delta p Q = \frac{\delta^3 W \Delta p^2}{12\mu l} \quad (2.24)$$

式中符号与公式 (2.17) 相同。

溫升根据热平衡的原理可按下式求得：

$$\Delta t = \frac{E_p}{Q/C\gamma} = \frac{\Delta p Q}{Q/C\gamma} = \frac{\Delta p}{C\gamma}, \quad (2.25)$$

式中 J ——热功当量(公斤·厘米/仟卡)；

C ——液体的比热(仟卡/公斤·度)；

γ ——液体的重度(公斤/厘米³)。

对于两相对旋轉件，用于剪切油层的能量損耗为：

$$E_c = F_c V, \quad (2.26)$$

式中 F_c ——阻力；

V ——切向运动速度。

根据流体摩擦定律，单位面积上摩擦力为：

$$f_c = \mu \frac{v}{\delta}, \quad (2.27)$$

$$F_c = f_c l W = \mu \frac{v}{\delta} l W, \quad (2.28)$$

$$E_c = F_c v = \mu \frac{v^2}{\delta} l W, \quad (2.29)$$

符号代表意义同前，对于圓形旋轉件：

$$l = \pi d,$$

$$v = \pi d n,$$

$$W = B,$$

式中 d ——剪切表面直徑；

n ——轉數；

B ——縫隙垂直于速度向量方向的长度。

代入式 (2.29) 得：

$$E_c = \frac{\mu}{\delta} \pi^3 d^3 n^2 B. \quad (2.30)$$

若产生的热量全部用以提高油溫則其数值为：

$$\Delta t = \frac{E_p}{Q/C\gamma} + \frac{E_c}{Q/C\gamma}. \quad (2.31)$$

将前面环状隙縫流量公式 (2.18) 代入，则：

$$\Delta t = \frac{12\pi^2 \mu^2 d^2 n^2 B l}{\delta^4 \Delta p / C\gamma} + \frac{\Delta p}{C\gamma} \quad (2.32)$$

上式表明，在低压时，溫升主要与旋轉时所消耗的功有关，而高压时，溫升的主要原因是油液挤过縫隙的能量耗損所引起的。

在計算中采用平均粘度，可以增加計算准确度。

对于相对运动为移动的情况可以相似的方法代入相应流量公式导出計算公式。

二、液压系統的热計算

对于整个液压系統或某一个液压部件而言，若已知輸入功率 N 及效率 η 的大小，可以近似的算出产生的热量，作为粗略計算及設計用。每仟瓦的損耗功率相当于860仟卡/小时，因此系統产生热量为：

$$H = N_2 \cdot 860 = N(1 - \eta) \cdot 860 \text{仟卡/小时}, \quad (2.33)$$

式中 N ——液压系統的总功率（仟瓦）；

N_2 ——液压系統的損失功率（仟瓦）；

η ——液压系統的效率。

此热量一部分加热有关零件及油液，一部分則被散发。

若設 C_i ——油及液压装置傳热部分的比热；

G_i ——油或部分液压系統的重量；

j_i ——散热系数；

F_i ——散热表面面积；

τ_i ——油液或零件对于空气的溫度差；

Hdt —— dt 時間內所产生的热量；

$\sum C_i G_i d\tau_i$ ——使油及有关零件提高溫度 $d\tau_i$ 度所需的热量；

$\sum j_i F_i \tau_i dt$ —— dt 時間內散热表面散出的热量。

則：

$$Hdt = \sum C_i G_i d\tau_i + \sum j_i F_i \tau_i dt,$$

$$dt = \frac{\sum C_i G_i d\tau_i}{H - \sum j_i F_i \tau_i}.$$

为了使公式簡化取溫度差 τ_i 等于 τ 的平均值，积分上式得

$$\tau = \frac{H}{j_i F_i} \left(1 - e^{-\frac{\sum j_i F_i}{\sum C_i G_i} t} \right) + \tau_0 e^{-\frac{\sum j_i F_i}{\sum C_i G_i} t} \text{ (度)}, \quad (2.34)$$

式中 τ_0 ——起始溫度差；

t ——整个工作延續时间。

最大值 τ_{\max} 即为热平衡时的溫度，这时产生的热量全部散发在空間，不再产生溫升，即 $d\tau_i = 0$ 。

$$H = \sum j_i F_i \tau_{\max}, \quad (2.35)$$

$$\tau_{\max} = \frac{H}{\sum j_i F_i}.$$

散热系数 j_i 的数值如下：在油箱壳体为自然冷却时 $j = 13$ 仟卡/米²·小时·度；

用風扇冷却时 $j = 20$ 仟卡/米²·小时·度；

用循环水强制冷却时 $j = 95 \sim 150$ 仟卡/米²·小时·度；

当表面周围空气循环困难时 $j = 8.7$ 仟卡/米²·

小时·度。

图2-2 壓力波动曲綫。